



УДК 532.5:621.694

С.Ю. Антонов – старший преподаватель

А.В. Антонова – кандидат физико-математических наук, доцент

Тел.: (843) 519-42-83

Казанский государственный энергетический университет (КГЭУ)

Я.Д. Золотонос – доктор технических наук, профессор

Тел.: (843) 510-47-35, e-mail: zolotonosov@mail.ru

Казанский государственный архитектурно-строительный университет (КазГАСУ)

МАТЕМАТИЧЕСКАЯ МОДЕЛЬ КОНФИГУРАЦИИ ЭЛЛИПТИЧЕСКИХ ПРУЖИННО-ВИТЫХ КАНАЛОВ ТЕПЛООБМЕННЫХ УСТРОЙСТВ

АННОТАЦИЯ

В работе предложена математическая модель широкого класса конфигураций пружинно-витых теплообменных каналов, изменение параметров уравнений которой позволяет исследовать и в дальнейшем оптимизировать внутреннюю геометрию проточной части таких каналов. Построенная модель может быть использована при разработке программного обеспечения для процесса компьютерного управления технологией намотки. Кроме того, проведена сравнительная оценка металлоемкости пружинно-витых каналов в зависимости от угла наклона проволоки и подъема намотки с известным гладкотрубным теплообменным элементом.

КЛЮЧЕВЫЕ СЛОВА: гидромеханика, теплообменные аппараты, пружинно-витой канал.

S.Y. Antonov – senior lecturer

A.V. Antonova – candidate of physical-mathematical sciences, associate professor

Tel.: (843) 519-42-83

Kazan State Energy University (KSEU)

Ya.D. Zolotonosov – doctor of technical sciences, professor

Tel.: (843) 510-47-35, e-mail: zolotonosov@mail.ru

Kazan State University of Architecture and Engineering (KSUAE)

MATHEMATICAL MODEL OF THE CONFIGURATIONS ELLIPTICAL SPRING-CURLY CHANNELS OF HEAT EXCHANGE EQUIPMENT

ABSTRACT

In work the mathematical model of a wide class of configurations spring-curlly heat exchange of channels is offered, the change of parameters of which equations allows to investigate and further to optimize internal geometry of a flowing part of such channels. The developed model can be used as the software during computer management of spring-curlly technology of winding. Besides the comparative estimation of metal consumption of channels is carried out depending on a corner of rise of winding with known smooth pipes heat exchange by an element.

KEYWORDS: hydromechanics, heat exchange equipment, spring-curlly channel.

Введение

Одним из путей интенсификации процессов теплообмена является создание малогабаритных теплообменных элементов, позволяющих обеспечивать требуемые значения коэффициентов теплопередачи в условиях высоких плотностей теплового потока.

Ранее в работах [1, 2] были предложены варианты геометрических конфигураций эллиптических пружинно-витых каналов, отмечены перспективность их использования при разработке и проектировании современной теплообменной аппаратуры.

Данная работа является продолжением ранее проведенных теоретических исследований и посвящена разработке математических моделей широкого класса конфигураций эллиптических пружинно-витых каналов. При этом предлагаемая математическая модель за счет изменения параметров в уравнениях модели позволяет изменять внутреннюю геометрию канала, описывать трубы змеевиковой конфигурации с различным шагом и углом подъема навивки.

**Теоретическая часть**

Математическая модель строится на базе фундаментальных положений аналитической и дифференциальной геометрии.

Рассматриваемый нами канал представляет собой тугую пружину с жестко скрепленными витками, каждый виток которой является аналогом пружинной (гроверной) шайбы.

Процесс образования таких каналов может быть реализован путем намотки проволоки эллиптического сечения с большой полуосью c и малой полуосью d на подложку, выполненную в виде эллиптического цилиндра с большой полуосью a и малой полуосью b , причем угол наклона α проволоки к поверхности подложки и угол намотки γ этой проволоки на подложку могут быть различны, но не меняются в течение всего процесса намотки (рис. 1).

Если при этом намотка плотная, то после микроплазменной или лазерной сварки витков и удаления подложки получается изолированный пружинно-витой канал.

Для описания витка такого канала выберем систему координат $Oxyz$ так, чтобы ось Oz совпадала с осью симметрии канала, а оси Ox и Oy были направлены по большой и малой осям основания подложки соответственно.

Напомним, что параметрическое уравнение эллипса $\frac{y^2}{d^2} + \frac{z^2}{c^2} = 1$ ($0 < d \leq c$) в системе координат $O'y'z'$ (рис. 2) имеет вид [3]:

$$y' = \frac{d \cos \psi}{(1 - \varepsilon_2^2 \sin^2 \psi)^{1/2}}; \quad z' = \frac{d \sin \psi}{(1 - \varepsilon_2^2 \sin^2 \psi)^{1/2}};$$

$$\psi \in [0, 2\pi], \text{ где } \varepsilon_2 = \sqrt{1 - \frac{d^2}{c^2}} \text{ - эксцентриситет}$$

эллипса. Обозначим его эллипс 1 (эл1).

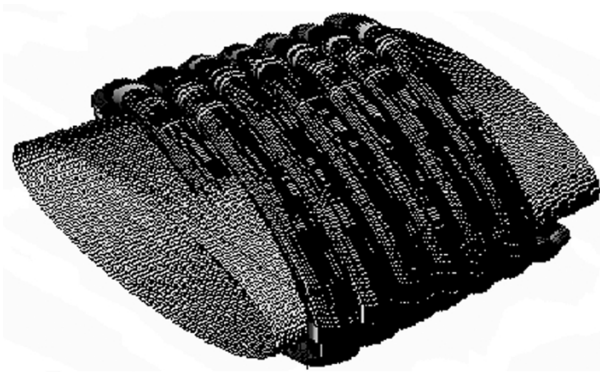


Рис. 1. Намотка эллиптической проволоки на эллиптический цилиндр

Если эллипс 1 повернуть вокруг своего центра O' на угол $\beta = \frac{\pi}{2} - \alpha$ против часовой стрелки, то полученный эллипс 2 (эл2) в координатах $O'y'z'$ записывается уравнением

$$\frac{(y' \sin \alpha + z' \cos \alpha)^2}{d^2} + \frac{(z' \sin \alpha - y' \cos \alpha)^2}{c^2} = 1,$$

причем явная зависимость y' от z' имеет вид:

$$y'_{1,2} = \frac{-(d^2 - c^2)z' \sin \alpha \cos \alpha \pm dc(c^2 \sin^2 \alpha + d^2 \cos^2 \alpha - z'^2)^{1/2}}{c^2 \sin^2 \alpha + d^2 \cos^2 \alpha}. \quad (1)$$

Для нахождения координат точки касания K используем условие $|y'_1 - y'_2| = 0$. Отсюда $z'^2 = c^2 \sin^2 \alpha + d^2 \cos^2 \alpha$. Исходя из рис. 2, заключаем, что

$$z'_K = -(c^2 \sin^2 \alpha + d^2 \cos^2 \alpha)^{1/2} = -d \sqrt{\frac{1 - \varepsilon_2^2 \cos^2 \alpha}{1 - \varepsilon_2^2}}, \quad (2)$$

$$y'_K = \frac{\sin \alpha \cos \alpha (c^2 - d^2)}{(c^2 \sin^2 \alpha + d^2 \cos^2 \alpha)^{1/2}} = \frac{d \varepsilon_2^2 \sin \alpha \cos \alpha}{\sqrt{(1 - \varepsilon_2^2)(1 - \varepsilon_2^2 \cos^2 \alpha)}}. \quad (3)$$

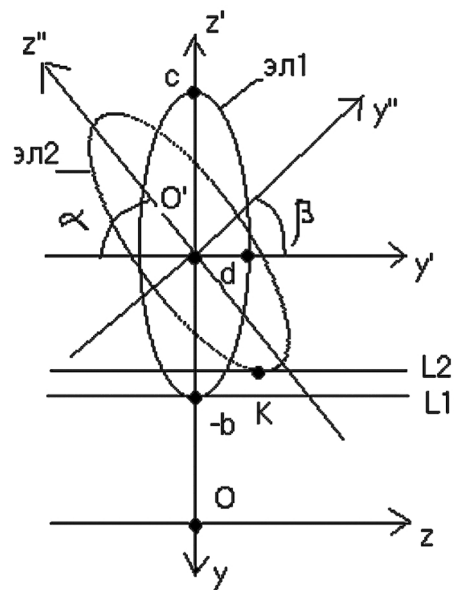


Рис. 2. Поворот эллипса вокруг своего центра



При этом расстояние от прямой l_1 до эллипса 2 равно:

$$l = c + z'_K = \frac{d}{\sqrt{1 - \varepsilon_2^2}} - d \sqrt{\frac{1 - \varepsilon_2^2 \cos^2 \alpha}{1 - \varepsilon_2^2}}.$$

Пусть M – произвольная точка эллипса 2, параметрическое уравнение которого в системе координат $O'y''z''$ имеет вид:

$$y'' = \frac{d \cos \psi}{(1 - \varepsilon_2^2 \sin^2 \psi)^{1/2}}; \\ z'' = \frac{d \sin \psi}{(1 - \varepsilon_2^2 \sin^2 \psi)^{1/2}}; \psi \in [0, 2\pi].$$

Найдем координаты точки M в системе координат $O'y'z'$. Учитывая, что переход в эту систему координат осуществляется по формуле: $y' = y'' \sin \alpha - z'' \cos \alpha$; $z' = y'' \cos \alpha + z'' \sin \alpha$, получаем:

$$y'_M = \frac{d \sin \alpha \cos \psi}{\sqrt{1 - \varepsilon_2^2 \sin^2 \psi}} - \frac{d \sin \psi \cos \alpha}{\sqrt{1 - \varepsilon_2^2 \sin^2 \psi}} = \frac{d \sin(\alpha - \psi)}{\sqrt{1 - \varepsilon_2^2 \sin^2 \psi}}; \\ z'_M = \frac{d \cos \alpha \cos \psi}{\sqrt{1 - \varepsilon_2^2 \sin^2 \psi}} + \frac{d \sin \psi \sin \alpha}{\sqrt{1 - \varepsilon_2^2 \sin^2 \psi}} = \frac{d \cos(\alpha - \psi)}{\sqrt{1 - \varepsilon_2^2 \sin^2 \psi}}.$$

Используя формулы (2), (3), получаем:

$$\overline{KM} = \overline{OM} - \overline{OK} = \\ = \left(\frac{-d \sin(\psi - \alpha)}{\sqrt{1 - \varepsilon_2^2 \sin^2 \psi}} - \frac{d \varepsilon_2^2 \sin \alpha \cos \alpha}{\sqrt{(1 - \varepsilon_2^2)(1 - \varepsilon_2^2 \cos^2 \alpha)}}, \right. \\ \left. \frac{d \cos(\psi - \alpha)}{\sqrt{1 - \varepsilon_2^2 \sin^2 \psi}} + d \sqrt{\frac{1 - \varepsilon_2^2 \cos^2 \alpha}{1 - \varepsilon_2^2}} \right),$$

а в системе координат $Oy''y'$,

$$\overline{KM} = \left(\frac{-d \cos(\psi - \alpha)}{\sqrt{1 - \varepsilon_2^2 \sin^2 \psi}} - d \sqrt{\frac{1 - \varepsilon_2^2 \cos^2 \alpha}{1 - \varepsilon_2^2}}, \right. \\ \left. \frac{d \sin(\psi - \alpha)}{\sqrt{1 - \varepsilon_2^2 \sin^2 \psi}} + \frac{d \varepsilon_2^2 \sin \alpha \cos \alpha}{\sqrt{(1 - \varepsilon_2^2)(1 - \varepsilon_2^2 \cos^2 \alpha)}} \right). \quad (4)$$

Сделаем теперь параллельный перенос эллипса 2 вдоль оси Oy до точки касания с прямой l_1 , обозначив новый эллипс через эллипс 3 (эл3), затем эллипс 3 сдвинем параллельно оси Oz так, чтобы полученный при этом эллипс 4 имел с эллипсом 3 единственную общую точку T (рис. 3).

Используя формулу (4), легко показать, что расстояние h между точками K и K' вычисляется по формуле:

$$h = \frac{2d}{\sqrt{1 - \varepsilon_2^2 \cos^2 \alpha}}. \quad (5)$$

Найдем теперь в системе координат $Oxyz$ уравнение поверхности Φ , которую заметает эллипс 3, плоскость расположения которого остается все время перпендикулярной плоскости Oxy , в случае, когда точка касания K движется по сложной траектории, определяемой следующим образом:

1) точка K движется по эллиптическому цилиндру Φ_1 , параметрическое уравнение которого имеет вид:

$$x = \frac{b \cos \varphi}{\sqrt{1 - \varepsilon_1^2 \cos^2 \varphi}}, \\ y = \frac{b \sin \varphi}{\sqrt{1 - \varepsilon_1^2 \cos^2 \varphi}}, \quad (6)$$

$z = u$, $\varphi \in [0, 2\pi]$, $u \in R$;

1) точка K движется в плоскости Π , которая в свою очередь движется поступательно в направлении оси Oz с постоянной скоростью v , причем при $v=0$ плоскость Π определяется следующими положениями K на поверхности Φ_1 :

$$K = K(0) = \left(\frac{b}{\sqrt{1 - \varepsilon_1^2}}, 0, 0 \right);$$

$$K_1 = K\left(\frac{\pi}{2}\right) = \left(0, b, \frac{b \operatorname{tg} \gamma}{\sqrt{1 - \varepsilon_1^2}} \right);$$

$$K_2 = K(\pi) = \left(\frac{-b}{\sqrt{1 - \varepsilon_1^2}}, 0, \frac{2b \operatorname{tg} \gamma}{\sqrt{1 - \varepsilon_1^2}} \right);$$

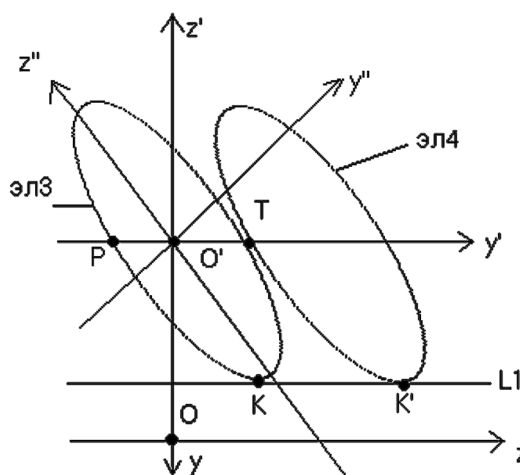


Рис. 3. Параллельное смещение эллипса вдоль оси Oz



где γ – заданный угол подъема точки K . Уравнение этой плоскости Π при скорости $v=0$ имеет вид:

$$z = tg \gamma \left(\frac{b}{\sqrt{1-\varepsilon_1^2}} - x \right). \quad (7)$$

Из уравнений (6), (7) и поступательного движения точки K в направлении оси Oz с постоянной скоростью v находим, что в системе координат $Oxuz$ траектория движения точки K описывается уравнениями вида:

$$x = \frac{b \cos \varphi}{\sqrt{1-\varepsilon_1^2 \cos^2 \varphi}};$$

$$y = \frac{b \sin \varphi}{\sqrt{1-\varepsilon_1^2 \cos^2 \varphi}};$$

$$z = v\varphi + b \operatorname{tg} \gamma \left(\frac{1}{\sqrt{1-\varepsilon_1^2}} - \frac{\cos \varphi}{\sqrt{1-\varepsilon_1^2 \cos^2 \varphi}} \right);$$

$\varphi \in R$ (при $\varphi=0$ луч OK совпадает с лучом Ox). Учитывая эти уравнения, а также формулу (4) и то, что $y'_M \leq 0$ в системе координат $O'y'u'$, получим, что параметрические уравнения одного витка поверхности Φ имеют вид:

$$x = \left(\frac{b}{\sqrt{1-\varepsilon_1^2 \cos^2 \varphi}} + d \sqrt{\frac{1-\varepsilon_2^2 \cos^2 \alpha}{1-\varepsilon_2^2}} + \frac{d \cos(\psi-\alpha)}{\sqrt{1-\varepsilon_2^2 \sin^2 \psi}} \right) \cos \varphi;$$

$$y = \left(\frac{b}{\sqrt{1-\varepsilon_1^2 \cos^2 \varphi}} + d \sqrt{\frac{1-\varepsilon_2^2 \cos^2 \alpha}{1-\varepsilon_2^2}} + \frac{d \cos(\psi-\alpha)}{\sqrt{1-\varepsilon_2^2 \sin^2 \psi}} \right) \sin \varphi;$$

$$z = v\varphi + b \operatorname{tg} \gamma \left(\frac{1}{\sqrt{1-\varepsilon_1^2}} - \frac{\cos \varphi}{\sqrt{1-\varepsilon_1^2 \cos^2 \varphi}} \right) \quad (8)$$

$$- d \left(\frac{\sin(\psi-\alpha)}{\sqrt{1-\varepsilon_1^2 \sin^2 \psi}} + \frac{\varepsilon_2^2 \sin 2\alpha}{2\sqrt{(1-\varepsilon_2^2)(1-\varepsilon_2^2 \cos^2 \alpha)}} \right);$$

$\varphi, \psi \in [0, 2\pi]$.

Из формулы (5) следует, что для практической реализации намотки проволоки эллиптического сечения на эллиптический цилиндр Φ_1 с углом подъема

γ и углом поворота $\beta = \frac{\pi}{2} - \alpha$ необходимо, чтобы

выполнялось неравенство: $v \geq v_0 = \frac{d}{\pi \sqrt{1-\varepsilon_2^2 \cos^2 \alpha}}$.

При этом если $v = v_0$, то получается плотная намотка (изолированный канал).

Обозначим через S_{in}, S_{ex}, S площади соответственно внутренней, внешней и полной поверхности Φ , определяемой параметрическими уравнениями (8). Элемент площади $d\Phi$ найдем по формуле:

$$d\Phi = \sqrt{EG - F^2} d\varphi d\psi,$$

где $E = x_\varphi^2 + y_\varphi^2 + z_\varphi^2$, $G = x_\psi^2 + y_\psi^2 + z_\psi^2$, $F = x_\varphi x_\psi + y_\varphi y_\psi + z_\varphi z_\psi$. Вычисляя соответствующие частные производные, мы найдем выражение для $EG - F^2$, которое представим в виде: $S_0 + S_1 + S_2$, где

$$S_0 = G \left(\frac{b^2 \sin^2 \varphi + b^2 (1-\varepsilon_1^2)^2 \cos^2 \varphi}{(1-\varepsilon_1^2 \cos^2 \varphi)^3} + \right.$$

$$\left. + \frac{2bd}{(1-\varepsilon_1^2 \cos^2 \varphi)^{1/2}} \cdot \left(\sqrt{\frac{1-\varepsilon_2^2 \cos^2 \alpha}{1-\varepsilon_2^2}} + \frac{\cos(\psi-\alpha)}{(1-\varepsilon_2^2 \sin^2 \psi)^{1/2}} \right) + \right.$$

$$\left. + d^2 \left(\sqrt{\frac{1-\varepsilon_2^2 \cos^2 \alpha}{1-\varepsilon_2^2}} + \frac{\cos(\psi-\alpha)}{(1-\varepsilon_2^2 \sin^2 \psi)^{1/2}} \right)^2 \right) -$$

$$\frac{\varepsilon_1^4 b^2 d^2 \sin^2 \varphi \cos^2 \varphi (\varepsilon_2^2 \sin \psi \cos \alpha - \sin(\psi-\alpha))^2}{(1-\varepsilon_1^2 \cos^2 \varphi)^3 (1-\varepsilon_2^2 \sin^2 \psi)^3};$$

$$S_1 = v^2 \left(G - \frac{d^2 (\varepsilon_2^2 \sin \psi \sin \alpha - \cos(\psi-\alpha))^2}{(1-\varepsilon_2^2 \sin^2 \psi)^3} \right) -$$

$$- \frac{v \varepsilon_1^2 b d^2 \sin 2\varphi}{(1-\varepsilon_1^2 \cos^2 \varphi)^{3/2} (1-\varepsilon_2^2 \sin^2 \psi)^3} \times$$

$$\times (\varepsilon_2^2 \sin \psi \cos \alpha - \sin(\psi-\alpha)) (\varepsilon_2^2 \sin \psi \sin \alpha - \cos(\psi-\alpha));$$

$$S_2 = \frac{\operatorname{tg}^2 \gamma \cdot b^2 d^2 \sin^2 \varphi}{(1-\varepsilon_1^2 \cos^2 \varphi)^3 (1-\varepsilon_2^2 \sin^2 \psi)^3} \times$$

$$\times (\sin^2(\psi-\alpha) + \varepsilon_2^4 \sin^2 \psi \cos^2 \alpha + 2 \sin \psi \sin \alpha \cos(\psi-\alpha) +$$

$$+ \frac{2\varepsilon_1^2 b^2 d^2 \sin^2 \varphi \cos \varphi \operatorname{tg} \gamma}{(1-\varepsilon_1^2 \cos^2 \varphi)^3 (1-\varepsilon_2^2 \sin^2 \psi)^3} \times$$

$$\times (\varepsilon_2^2 \sin \psi \cos \alpha - \sin(\psi-\alpha)) (\varepsilon_2^2 \sin \psi \sin \alpha - \cos(\psi-\alpha)) +$$

$$+ \frac{2bd^2 \sin \varphi \operatorname{tg} \gamma \cdot v}{(1-\varepsilon_1^2 \cos^2 \varphi)^{3/2} (1-\varepsilon_2^2 \sin^2 \psi)^3} \times$$

$$\times (\sin^2(\psi-\alpha) + \varepsilon_2^4 \sin^2 \psi \cos^2 \alpha + 2 \sin \psi \sin \alpha \cos(\psi-\alpha));$$

$$G = \frac{d^2 \cos^2 \psi + d^2 (1-\varepsilon_2^2)^2 \sin^2 \psi}{(1-\varepsilon_2^2 \sin^2 \psi)^3};$$



Тогда справедливы равенства:

$$S_{in} = \iint_{P_1} \sqrt{S_0 + S_1 + S_2} d\varphi d\psi;$$

$$S_{ex} = \iint_{P_2} \sqrt{S_0 + S_1 + S_2} d\varphi d\psi;$$

$$S = \iint_P \sqrt{S_0 + S_1 + S_2} d\varphi d\psi.$$

Пределы интегрирования для нахождения площади внутренней и внешней поверхностей найдем из рис. 3 и формулы (1). В системе координат $O'y'z'$ имеем, что

$$P = (y_1(0), 0) = \left(\frac{-d}{\sqrt{1 - \varepsilon_2^2 \cos^2 \alpha}}, 0 \right);$$

$$T = (y_2(0), 0) = \left(\frac{d}{\sqrt{1 - \varepsilon_2^2 \cos^2 \alpha}}, 0 \right).$$

Тогда в системе координат $O'y''z''$

$$P = \left(\frac{-d \sin \alpha}{\sqrt{1 - \varepsilon_2^2 \cos^2 \alpha}}, \frac{d \cos \alpha}{\sqrt{1 - \varepsilon_2^2 \cos^2 \alpha}} \right);$$

$$T = \left(\frac{d \sin \alpha}{\sqrt{1 - \varepsilon_2^2 \cos^2 \alpha}}, \frac{-d \cos \alpha}{\sqrt{1 - \varepsilon_2^2 \cos^2 \alpha}} \right).$$

Отсюда находим соответствующие им углы:

$$\psi_P = \pi - \arctg \operatorname{ctg} \alpha = \frac{\pi}{2} + \alpha;$$

$$\psi_T = 2\pi - \arctg \operatorname{ctg} \alpha = \frac{3\pi}{2} + \alpha.$$

Тогда пределы интегрирования

$$P_1 = \left\{ (\varphi, \psi) : \varphi \in [0, 2\pi], \psi \in \left[\frac{\pi}{2} + \alpha, \frac{3\pi}{2} + \alpha \right] \right\};$$



Рис. 4. Компьютерная реализация эллиптического пружинно-витого канала

$$P_2 = \left\{ (\varphi, \psi) : \varphi \in [0, 2\pi], \psi \in \left[\alpha - \frac{\pi}{2}, \frac{\pi}{2} + \alpha \right] \right\};$$

$$P = \{ (\varphi, \psi) : \varphi \in [0, 2\pi], \psi \in [0, 2\pi] \}.$$

Заметим, что в случае, когда $\varepsilon_1 = \nu = \gamma = 0$, справедливо равенство:

$$S = 2\pi l \left(b + d \sqrt{\frac{1 - \varepsilon_2^2 \cos^2 \alpha}{1 - \varepsilon_2^2}} \right),$$

где $l = \int_0^{2\pi} \sqrt{G} d\psi$ – длина движущегося эллипса.

На базе теоретических исследований была осуществлена проверка адекватности математической модели методом компьютерного эксперимента. На рис. 4 приведен общий вид пружинно-витого канала следующих геометрических размеров:

$$b=5, d=1, \varepsilon_1=0.8, \varepsilon_2=0.9, \alpha=0, \gamma=\frac{\pi}{6}.$$

Сравнение металлоемкости. Для сравнения металлоемкости эллиптического гладкого и пружинно-витого каналов заметим, что отношение масс материала, требуемого для изготовления труб одинаковой длины, равно отношению площадей поперечных сечений этих каналов (рис. 5):

$$\frac{M_{\text{гладкой}}}{M_{\text{эллиптической}}} = \frac{\rho l S_{\text{гладкой}}}{\rho l S_{\text{эллиптической}}} = \frac{S_{ABCD}}{S_{\text{эллипса}}}.$$

Используя формулы (2), (3), (5), получим, что

$$S_{ABCD} = \frac{4d^2}{\sqrt{1 - \varepsilon_2^2}}, \text{ а площадь эллипса } S_{\text{эллипса}} = \frac{\pi d^2}{\sqrt{1 - \varepsilon_2^2}}.$$

Сравнение соответствующих масс показывает, что их отношение не зависит ни от угла наклона проволоки к поверхности подложки, ни от угла намотки на подложку

и равно $\frac{M_{\text{гладкой}}}{M_{\text{эллиптической}}} = \frac{4}{\pi} = 1.27$, что говорит о 27 %

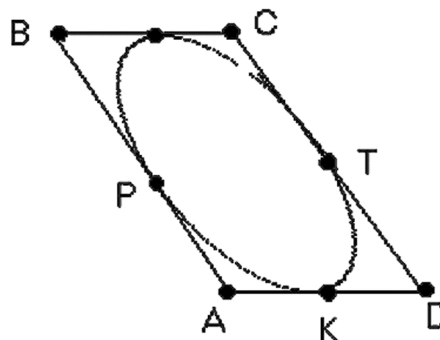


Рис. 5. Сравнение поперечного сечения эллиптической проволоки и поперечного сечения аналога витка гладкого канала



экономии потребности металла при изготовлении пружинно-витых труб по сравнению с гладкими трубами. Этот же результат был получен в работе [2]

для угла намотки $\frac{\pi}{2}$. Таким образом, металлоемкость конструкции теплообменного элемента, выполненного в виде пружинно-витых труб, снижается на 27 %.

Заключение

Предложена математическая модель эллиптического пружинно-витого канала, виток которого представляет собой аналог пружинной (гроверной) шайбы, позволяющей описывать широкий класс каналов с различной геометрией проточной части.

Построенная модель позволит использовать ее при разработке программного обеспечения для процесса компьютерного управления технологией изготовления подобных каналов.

Расчеты показали, что разработанные нами пружинно-витые каналы позволяют снизить металлоемкость конструкций в среднем на 27 % по сравнению с гладким эллиптическим каналом.

Литература

1. Антонов С.Ю., Антонова А.В., Золотонос Я.Д. Определение коэффициента теплопередачи эллиптических пружинно-витых каналов в теплообменных аппаратах // Сб. трудов XVII школы-семинара молодых ученых и специалистов "Проблемы газодинамики и тепломассообмена в аэрокосмических технологиях". – Жуковский: ЦАГИ, т. 1, 2009. – С. 280-283.
2. Антонов С.Ю., Антонова А.В., Золотонос Я.Д. Определение коэффициентов теплопередачи через стенку эллиптических гладких и пружинно-витых каналов теплообменных аппаратов // Известия КазГАСУ, 2009, № 1 (11). – С.158-164.
3. Воднев В.Т. Математический словарь высшей школы: Общ. часть. – М.: Изд-во МПИ, 1988. – 527 с.